

Bölüm 7 FM Modülatörleri

7.1 AMAÇ

- Varaktör diyonut karakteristiğinin ve çalışma prensibinin incelenmesi
- Gerilim kontrollü osilatörün(VCO) çalışma prensibinin anlaşılması.
- Gerilim kontrollü osilatör ile bir frekans modülatörünün gerçekleştirilmesi.

7.2 TEMEL KAVRAMLARIN İNCELENMESİ

Frekans Modülasyonun Çalışma Prensibi

Frekans modülasyonu(FM), taşıyıcı frekansın modüle edilecek işaretin genliğine göre değişmesi prensibidir. FM işaretin aşağıdaki denklem ile ifade edilebilir;

$$x_{FM}(t) = A_c \cos \theta(t) = A_c \cos \left[2\pi f_c t + 2\pi f_\Delta \int_0^t x(\lambda) d\lambda \right] \quad (7-1)$$

Eğer $x(\lambda) = A_m \cos(2\pi f_m \lambda)$ ise,

$$\begin{aligned} x_{FM}(t) &= A_c \cos \left[2\pi f_c t + \frac{f_\Delta A_m}{f_m} \sin(2\pi f_m t) \right] \\ &= A_c \cos [2\pi f_c t + \beta \sin(2\pi f_m t)] \end{aligned} \quad (7-2)$$

$\theta(t)$ = Anlık Modülasyon Frekansı

f_c = Taşıyıcı Frekansı

f_m = Modülasyon Frekansı

β = Modülasyon İndeksi = $A_m (f_\Delta / f_m)$

$x_{FM}(t)$, FM işaretinin frekansı şu şekilde ifade edilebilir;

$$\begin{aligned} f &= \frac{1}{2\pi} \frac{d}{dt} \theta(t) = \frac{1}{2\pi} \frac{d}{dt} [2\pi f_c t + \beta \sin(2\pi f_m t)] \\ &= f_c - f_m \beta \cos(2\pi f_m t) \end{aligned} \quad (7-3)$$

(7-3) denkleminden, FM işaretinin frekansının, taşıyıcı işaretin merkez frekansı etrafında değiştiği görülmektedir. Taşıyıcı işaretin merkez frekansı etrafındaki bu frekans değişimi, modüle edilecek işaretin genliğine göre değişmektedir.

Varaktör Diyot

Varaktör diyot, başka bir deyişle akort diyotu(tuning diode), kapasitans değeri p-n jonksiyonu üzerindeki ters kutuplama gerilimi ile orantılı olan diyottur. Diyot üzerine uygulanan ters kutuplama gerilimi arttıkça depletion bölgesinin genişliği arttıgından dolayı kapasitans değeri azalır. Tam tersi olarak, diyot üzerine uygulanan ters kutuplama gerilimi azaldıkça depletion bölgesinin genişliği daha da daralacağından dolayı kapasitans değeri artacaktır. Diyot üzerine bir AC gerilim uygulandığı taktirde, kapasite değeri genliğin değişimi ile değişir.

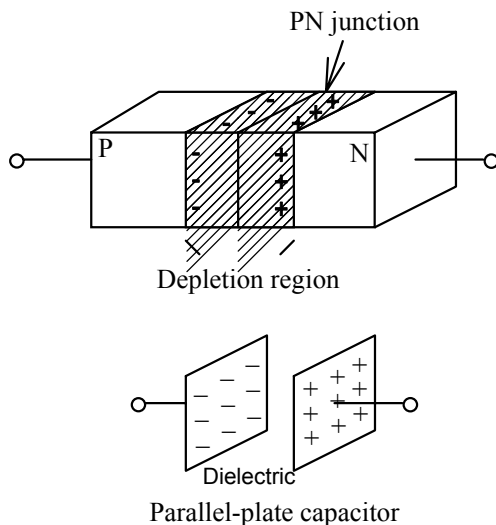


Fig. 7-1 Varaktör diyot ve kapasite arasındaki ilişki.

Fig. 7-1'de varaktör diyot ve genel bir kapasite arasındaki ilişki gösterilmiştir. Aslında, ters kutuplanmış bir varaktör diyot ile kapasite benzer yapılardır. p ve n yarıiletkenleri bir araya getirildiğinde azınlık taşıyıcılarının difüzyonundan dolayı küçük bir depletion bölgesi oluşur. Pozitif yükler n jonksyon tarafını, negatif yükler ise p jonksyonu tarafını doldururlar. Bu, kapasite yapısına benzemektedir. İç jonksyon kapasitesi değeri aşağıdaki kapasite formülü ile hesaplanabilir;

$$C = \frac{\epsilon A}{d} \quad (7-4)$$

$$\epsilon = 11.8\epsilon_0 = \text{dielektrik sabiti}$$

$$\epsilon_0 = 8.85 \times 10^{-12}$$

A= Kapasitenin kesit alanı

d= Depletion bölgesinin kalınlığı

Yukarıdaki formülden, eğer A sabit ise, varaktör kapasitansının değerinin, depletion bölgesinin kalınlığı(veya plakalar arasındaki mesafe) ile ters orantılı olduğunu bilmekteyiz. Bu nedenle, küçük bir ters kutuplama gerilimi küçük bir depletion bölgesi ve büyük bir kapasitans oluşturacaktır. Diğer bir deyişle, ters kutuplama gerilimindeki artış, büyük bir depletion bölgesine ve küçük bir kapasitans değerine neden olacaktır.

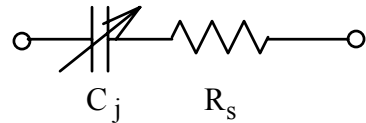


Fig. 7-2 Varaktör diyonun eşdeğer devresi.

Bir varaktör diyon, Fig. 7-2'de gösterildiği gibi birbirine seri bağlı bir direnç ve kapasite olarak düşünülebilir. C_j , p ve n jonksiyonları arasındaki jonksiyon kapasitesidir. R_s , gövde direnci ile kontak direncinin toplamıdır ve birkaç ohm mertebesindedir.

R_s direnci, varaktör diyonun kalitesini belirleyen önemli bir parametredir.

Akort oranı(TR), V_2 ters kutuplama gerilimine karşılık gelen kapasite değeri ile V_1 ters kutuplama gerilimine karşılık gelen kapasite değeri arasındaki oran olarak tanımlanmıştır ve şu şekilde ifade edilir;

$$TR = \frac{C_{V2}}{C_{V1}} \quad (7-5)$$

TR= Akort oranı.

C_{V1} = V_1 gerilimindeki varaktör diyon kapasitansı.

C_{V2} = V_2 gerilimindeki varaktör diyon kapasitansı.

Deneyselimizde 1SV55 varaktör diyonu kullanılmaktadır ve temel karakteristikleri de şu şekildedir:

$C_{3V} = 42 \text{ pF}$ (3V' daki varaktör diyon kapasitansı)

TR= 2.65 (3V ~ 30V ' da)

MC1648 VCO Kullanılarak Frekans Modülatörü

Deneyselimizde, Fig. 7-3'de gösterilen, MC1648 VCO içeren frekans modülatörü gerçekleştirilecektir. Temel olarak, bu devre bir osilatör ve osilasyon frekansını belirleyen girişteki akort devresidir. Bu devredeki, C_2 ve C_3 kapasiteleri, gürültüyü süzmek için bypass kapasiteleridir. Yüksek bir frekansta(2.4MHz) çalışıldığı zaman, bu iki kapasitenin kapasitif reaktansı

çok küçüktür ve pratik uygulamalar için ihmal edilebilir. Bu nedenle, Fig. 7-4'de gösterilen akort devresinin AC eşdeğeri bir LC rezonans yapısıdır. C_{in} ile 1SV55(C_d) ile MC1648'in giriş kapasitesinin(C_{in}) paraleli olarak düşünülebilir.

C_{in}'nin değeri yaklaşık olarak 6 pF'dır. Eğer kaçak kapasiteleri ihmal edersek osilasyon frekansı aşağıdaki formül ile hesaplanabilir;

$$f_o = \frac{1}{2\pi\sqrt{LC}} = \frac{1}{2\pi\sqrt{L(C_d + 6 \times 10^{-12})}} \text{ (Hz)} \quad (7-6)$$

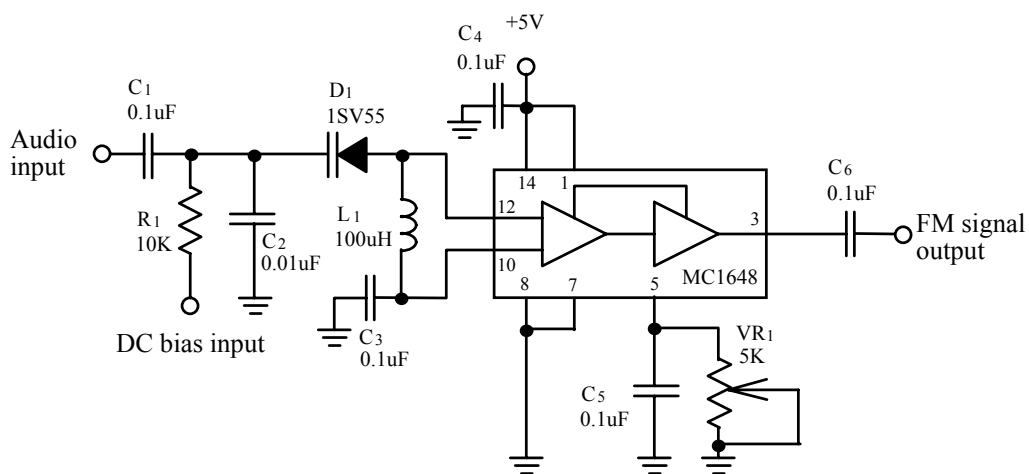


Fig. 7-3 MC1648 FM modülatör devresi.

Yukarıda bahsedildiği gibi, D₁ varaktör diyonunun C_d kapasitansı, ters kutuplama geriliminin değeri ile değişir. (7-6) denklemine göre, C_d kapasitansının değişimi osilasyon frekansının değişimine neden olacaktır. Fig. 7-3'deki devrede, küçük bir DC gerilim, büyük bir C_d kapasitansı ve küçük bir frekans çıkışı üretecektir. Diğer taraftan, DC gerilimindeki artış, C_d kapasitans değerini düşürecek ve yüksek bir frekans çıkışına neden olacaktır. Bu nedenle, DC gerilim sabit tutulur ve girişe bir ses işaretini uygulanırsa, VCO çıkış işaretini frekans modüleli bir işaret olacaktır.

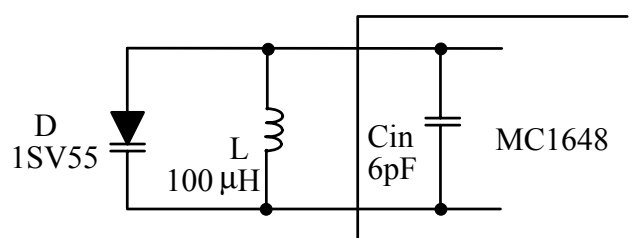


Fig. 7-4 Akort tank devresinin AC eşdeğeri yapısı.

LM566 VCO Kullanılarak Frekans Modülatörü

Fig. 7-5, LM566 VCO(gerilim kontrollü osilatör) entegresi kullanılarak gerçekleştirilmiş bir frekans modülatöründür. Eğer SW_1 açık ise, bu devre tipik bir VCO' dur ve bu VCO' nun çıkış frekansı, C_3 , VR_1 ve giriş ses geriliminin değerleri ile belirlenir. Eğer C_3 ve VR_1 değerleri sabit ise, çıkış frekansı 8. ve 5. pinler arasındaki gerilim farkı(V_8-V_5) ile doğrudan orantılıdır. Diğer bir deyişle, ses giriş gerilimindeki(V_5) bir artış, (V_8-V_5) değerinde ve çıkış frekansında bir azalmaya sebep olur. Tam tersi olarak, ses giriş gerilimindeki(V_5) azalış çıkış frekansında artışa sebep olacaktır. Yukarıda irdelendiği gibi, C_3 ve VR_1 değerleri de aynı zamanda çıkış frekansını belirlemektedir. C_3 ve VR_1 'in çarpımı ile ters orantılıdır. Yani, $VR_1 \times C_3$ değeri büyütükçe, çıkış frekansı azalmaktadır.

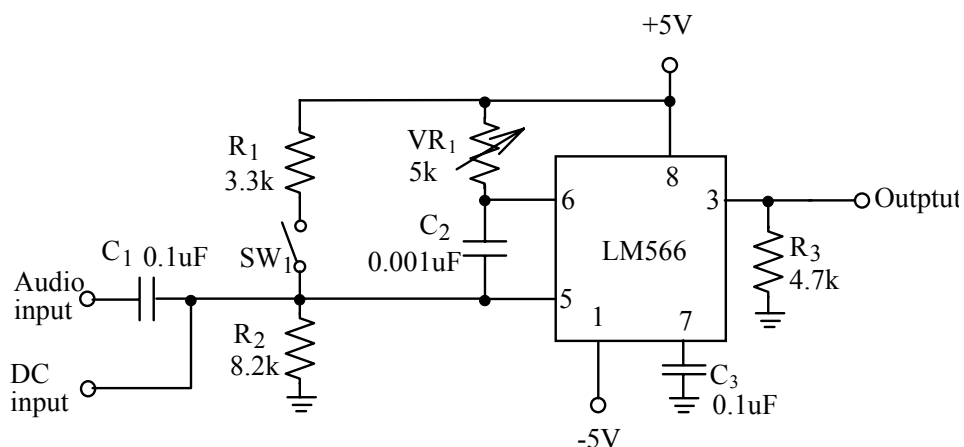


Fig. 7-5 LM566 Frekans modülatör devresi

Eğer SW_1 kapatılırsa, R_1 ve R_2 'den oluşan gerilim bölgüsü, ses girişine(5. pine) DC bir gerilim seviyesi sağlar. VR_1 ayarlanarak , VCO'nun merkez frekansı f_o kolaylıkla ayarlanabilir. Bir ses işaretinin, ses girişine uygulandığı zaman çıkışta, uygulanan ses işaretinin genliği ile VCO merkez frekansı f_o etrafında değişen bir frekans üretecektir. Böylelikle, frekans modüleli bir işaret elde edilir.

7.3 GEREKLİ EKİPMANLAR

1. KL-92001 Modülü
2. KL-93004 Modülü
3. Osiloskop
4. Spektrum Analizör

7.4 DENEYLER VE KAYITLAR

Deney 7-1 MC1648'in Karakteristik Ölçümleri

- 1. MC1648 FM modülatör devresini KL-93004 modülü üzerine yerleştirin. Bobini L_1 ($100\mu H$)'e ayarlamak için bağlantı konnektörünü J2'ye bağlayın.
- 2. DC besleme girişine(I/P2) 3VDC bağlayın. Osiloskop kullanarak çıkış dalga şeklini gözlemleyin. Çıkışta bir sinüs dalgası gözükmeye kadar VR_1 'i ayarlayın ve frekansı Tablo 7-1'e kaydedin.
- 3. İkinci adımı, Tablo 7-1'de listelenen diğer DC gerilimleri için tekrarlayın.
- 4. Tablo 7-1'deki sonuçları kullanarak Fig. 7-6'da gerilim-frekans eğrisini çizin.

Deney 7-2 MC1648 Frekans Modülatörü

- 1. 5V'da ters kutuplanmış 1SV55 varaktörü ve $L_1 = 100\mu H$ için J1 ve J2'ye bağlantı konnektörünü bağlayın. Bu koşullar altında, çıkış frekansı, f_0 merkez frekansı olacaktır.
- 2. Ses girişine(I/P1), 2Vp-p, 3kHz'lık bir sinüs dalgası bağlayın. Osiloskop kullanarak çıkış dalga şeklini gözlemleyin. Çıkışta bir sinüs dalgası gözükmeye kadar VR_1 'i ayarlayın.
- 3. Spektrum analizör kullanarak çıkış spektrumunu gözlemleyin ve Tablo 7-2'ye kaydedin.
- 4. 5kHz ve 8kHz ses frekansları için 3. adımı tekrarlayın.

Not: Taşıyıcı işaret ile modüle edilmiş işaret arasındaki frekans farkı çok büyük olduğunda, osiloskop kullanarak zaman domeninde aşikar bir değişim gözlemlemek zor olabilir. Böyle durumlarda frekans analizörü kullanılması tavsiye edilir.

Deneý 7-3 LM566'nın Karakteristik Ölçümüleri

- 1. LM566 modülatör devresini KL-93004 modülü üzerine yerleştirin. Kapasiteyi C_3 ($0.1\mu F$)'e ayarlamak için bağlantı konnektörünü J2'ye bağlayın.
- 2. DC gerilim girişine(5. pine) 3.6VDC gerilim bağlayın. 2kHz çıkış frekansı elde etmek için VR_1 'i ayarlayın. Bu frekans, f_o merkez frekansıdır.
- 3. Beşinci pindeki DC gerilimleri sırası ile 2.7V, 3V, 3.3V, 3.9V, 4.2V ve 4.5V olarak değiştirin. DC gerilim girişlerine göre çıkıştaki frekansları gözlemlayın. Sonuçları Tablo 7-3'e kaydedin.
- 4. Tablo 7-3'deki sonuçları kullanarak, Fig. 7-7'de gerilim-frekans eğrisini çizin.
- 5. J2'deki bağlantı konektörünü söküp J3'e bağlayın. Bu, $C_3(0.1\mu F)$ kapasitesini $C_4(0.01\mu F)$ kapasitesi olarak değiştmesini sağlar.
- 6. DC gerilim girişine(5. pine) 3.6VDC gerilim bağlayın. 20kHz çıkış frekansı elde etmek için VR_1 'i ayarlayın. Bu frekans, f_o merkez frekansıdır.
- 7. Beşinci pindeki DC gerilimleri sırası ile 2.7V, 3V, 3.3V, 3.9V, 4.2V ve 4.5V olarak değiştirin. DC gerilim girişlerine göre çıkıştaki frekansları gözlemlayın. Sonuçları Tablo 7-4'e kaydedin.
- 8. Tablo 7-4'deki sonuçları kullanarak, Fig. 7-8'de gerilim-frekans eğrisini çizin.

Deneý 7-4 LM566 Frekans Modülatörü

- 1. LM566 FM modülatör devresini KL-93004 modülü üzerine yerleştirin. Kapasiteyi $C_4(0.01\mu F)$ 'e ayarlamak için bağlantı konnektörünü J1 ve J3'e bağlayın. 20kHz çıkış frekansı elde etmek için VR_1 'i ayarlayın.

- 2. 500mVp-p, 1kHz'lık sinüs dalgasını ses girişine(I/P1) bağlayın. Osiloskop kullanarak çıkış dalga şeklini(O/P) gözlemleyin ve sonucu Tablo 7-5'e kaydedin.

- 3. Ses frekanslarını 3kHz ve 5kHz olarak sırası ile değiştirin. Ses giriş işaretlerine karşılık gelen çıkış dalga şekillerini gözlemleyin ve sonuçları Tablo 7-5'e kaydedin.

- 4. Ses girişini, 1Vp-p, 1kHz sinüs işaretini olarak değiştirin. Çıkış dalga şeklini gözlemleyin ve sonucu Tablo 7-6'ya kaydedin.

- 5. Ses frekanslarını 3kHz ve 5kHz olarak sırası ile değiştirin. Girişteki ses işaretlerine karşılık gelen çıkış dalga şekillerini gözlemleyin. Sonuçları Tablo 7-6'ya kaydedin.

Tablo 7-1

DC Besleme Giriş (V)	3	4	5	6	7	8	9	10	11	12	13	14
Çıkış Frekansı (MHz)												

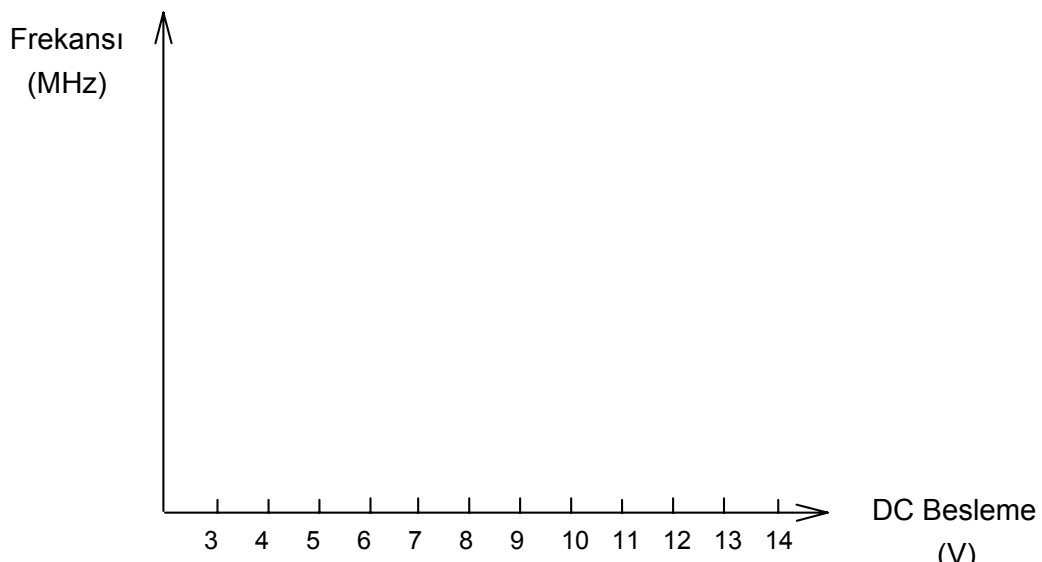


Fig. 7-6

Tablo 7-2

 $(V_m = 2V)$

Giriş Frekansı	Giriş Dalga Şekli	Çıkış Spektrumu
3 kHz		
5 kHz		
8 kHz		

Tablo 7-3

 $(C_3 = 0.1\mu F, f_0 = 2kHz)$

Giriş Voltajı (V)	2.7	3	3.3	3.6	3.9	4.2	4.5
Çıkış Frekansı (KHz)							

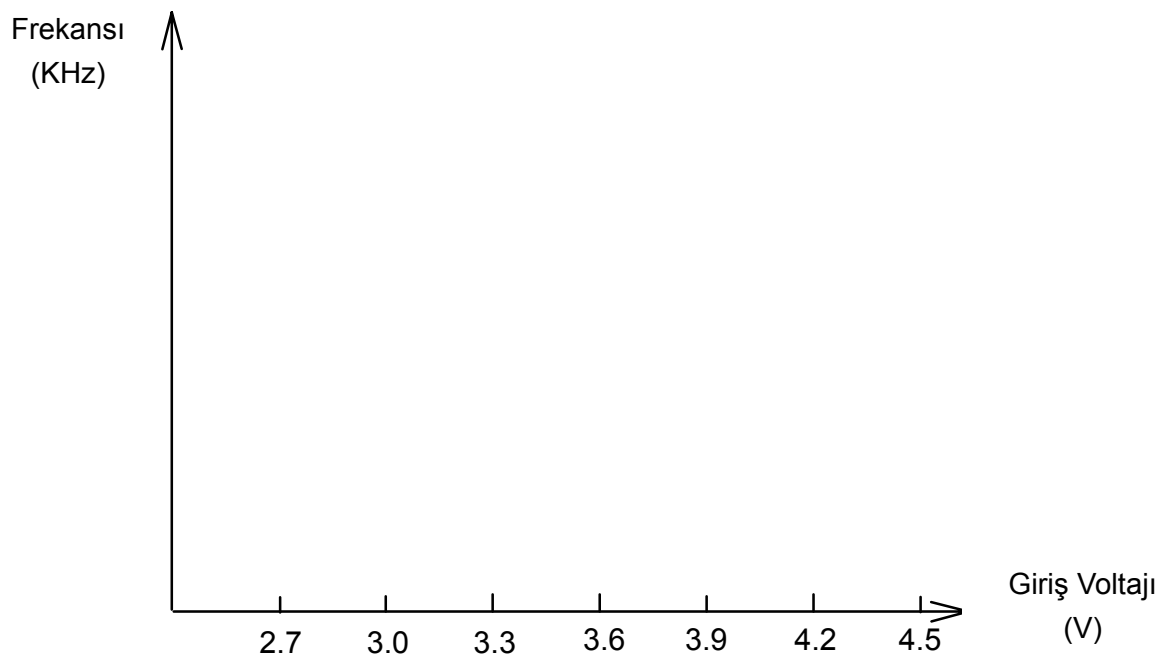


Fig.7-7

Tablo 7-4

($C_3 = 0.01\mu F$, $f_0 = 20\text{kHz}$)

Giriş Voltajı (V)	2.7	3	3.3	3.6	3.9	4.2	4.5
Çıkış Frekansı (KHz)							

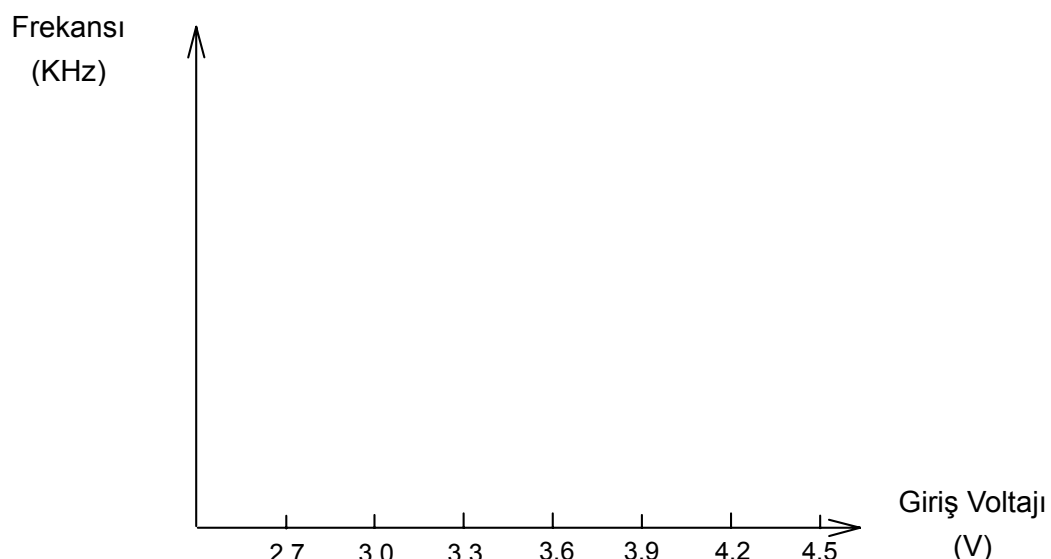


Fig.7-8

Tablo 7-5

(V_m= 500mVp-p, C₃=0.01μF, f₀=20kHz)

Giriş Frekansı	Giriş Dalga Şekli	Çıkış Dalga Şekli
1 kHz		
3 kHz		
5 kHz		

Tablo 7-6

 $(V_m = 1V_{p-p}, C_3 = 0.01\mu F, f_0 = 20kHz)$

Giriş Frekansı	Giriş Dalga Şekli	Cıkış Dalga Şekli
1 kHz		
3 kHz		
5 kHz		

7.5 SORULAR

- Fig. 7-3'deki tank devresinde bobin değeri $80nH$ ve rezonans frekansının $100MHz$ olması istenirse, varaktör diyonutun kapasite değeri ne olmalıdır?
- Fig. 7-6'daki frekans-gerilim eğrisini inceleyin. Eğrinin hangi bölgesi frekans modülatörünü gerçekleştirmek için uygundur.
- Fig. 7-5'deki devreyi tekrar gözden geçirin. SW1 kapalı olduğu zaman R1 ve R2'nin görevi nedir?